

集水暗きよの取水量の解析

九州大学 工学部 正員 上田年比古
○杉尾 哲

○まえがき

本報は、浸透領域内の透水体が等方性均質である場合について、領域上面に湛水がある場合となしの場合、さらに湛水がある場合には、暗きよ内が満水の場合と未満水の場合など、さきがまな境界条件のもとでの、円形暗きよによる取水量を複素ポテンシャルの理論より解析したものである。

湛水で隔われた半無限領域内の満水の円形暗きよの取水量算定式としては、Muskat 式⁽¹⁾あるいは Kirkham 式⁽²⁾がよく用いられてくるようだ、公式集などにもあげられてくれる。これら二式は円形暗きよへの流れを、流入・流出点間の Potential Flow にみきがえて解析する際に、流入点が暗きよ中心にあると近似して説明されたものである。本報では、この近似による算定誤差を除去するため、円形暗きよ周壁を等ポテンシャル線とする流入点を用いて解析した。

○基礎式

いま図-1 に示すような浸透流の流れの場において、水の単位重量を w 、領域内の任意点の圧力を p 、各その点の x 方向（鉛直下向きを正）および y 方向の速度成分を u および v とし、透水係数を k とすると、Darcy の法則より

$$\Phi = \frac{k}{w} \{ (p/w) - x \} \quad (1)$$

非回転定常流の基礎理論より $u = -\partial\Phi/\partial x$, $v = -\partial\Phi/\partial y$ $\quad (2)$

がえられる。式-(1)より、暗きよ中心の圧力を p_c とすれば、暗きよ内の速度ポテンシャル Φ_r は

$$\Phi_r = \frac{k}{w} \{ (p_c/w) - d \} \quad (3)$$

また、上面に湛水がある場合の地表面 ($x=0$) における速度ポテンシャル Φ_0 は 地表面の湛水面を H_0 とすれば、
 $\Phi_0 = d + H_0 \quad (4)$

ヒッセズレ一定値になり、暗きよ周壁および湛水で隔われた地表面は等ポテンシャル線である。はる、解析は暗きよ周壁を完全透水体と仮定して行う。

I. 地表面に湛水があり、暗きよ内は満水の場合

1. 半無限浸透領域

i) 解析

いま図-1 に示す半無限領域内の満水の円形暗きよを考えると、図-1 の流れは y 軸と円形暗きよと等ポテンシャル線とする Potential Flow であり、この流れは、暗きよ内的一点 A ($x=a$, $y=0$) に流入点を、 y 軸に対して対称な位置 A' 点 ($x=-a$, $y=0$) に流出点をもつ Potential Flow と同じになる。

この場合の複素ポテンシャルは、 Q を単位奥行き当りの暗きよ取水量とすると、次式で表され、

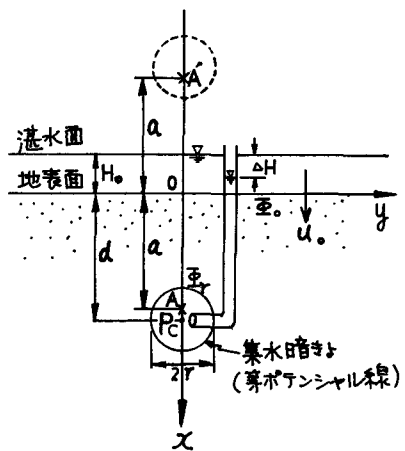


図-1 半無限浸透領域

(z -平面)

$$W = \Phi + i\psi = \frac{Q}{2\pi} \ln \frac{z-a}{z+a} + k_e H_0 \quad \text{--- (5)}$$

式-(5)に $z = x+iy$ を代入して、実数部と虚数部にわけると、

$$\Phi = \frac{Q}{4\pi} \ln \frac{(x-a)^2 + y^2}{(x+a)^2 + y^2} + k_e H_0 \quad \text{--- (6)}$$

$$\psi = \frac{Q}{2\pi} \tan^{-1} \frac{2ay}{x^2 - a^2 + y^2} \quad \text{--- (7)}$$

となって、流線網は図-2 のようになる。

式-(6)において、 Ψ を一定として変形すれば円の方程式がえられ、図-2 の等ポテンシャル線群は、同軸円群であることがわかる。この円群の中心点の位置と、半径との関係から a を求めると

$$a = \sqrt{d^2 - r^2} = \sqrt{(d+r)(d-r)} \quad \text{--- (8)}$$

がえられる。なお式-(8)は 式-(6)にあたり。

$$\Phi_{(x=d-r, y=0)} = \Phi_{(x=d+r, y=0)} \quad \text{--- (9)}$$

とくにも導出できる。

いま式-(6)より暗きよ周壁の速度ポテンシャルを求めると、

$$\Phi_r = \frac{Q}{2\pi} \ln \frac{\sqrt{d^2 - r^2} - (d-r)}{\sqrt{d^2 - r^2} + (d-r)} + k_e H_0 \quad \text{--- (10)}$$

となり、式-(3)と等しいとおけば、取水量算定式は

$$Q = \frac{2\pi k_e \{ H_0 + d - (p_c/w) \}}{\ln \{ (d + \sqrt{d^2 - r^2}) / r \}} \quad \text{--- (11)}$$

ここで、 $H_0 + d - (p_c/w) = \Delta H$ は浸透領域上面と暗きよ内との水頭差をあらわす。

満水状態の暗きよ周壁は等ポテンシャル線であり、図-2 の等ポテンシャル線群の一本と必ず一致する。したがって、式-(11)は取水量算定式の厳密解である。

ii) 電気モデル実験

浸透流と電気の流れはともに Laplace の方程式を満足する Potential Flow であり、両者の相似関係から円形暗きよの取水量が求められる。実験に用いた抵抗測定回路を図-3 に。測定結果および式-(11)の算定結果を図-4 に示す。これより、式-(11)はよい一致を示す。また逆に、電気モデルの実験結果が十分な精度でえられることがわかる。図-4 には Muskat 式および Kirkham 式による算定結果も示してあるが、これらは r/d が大きくなると

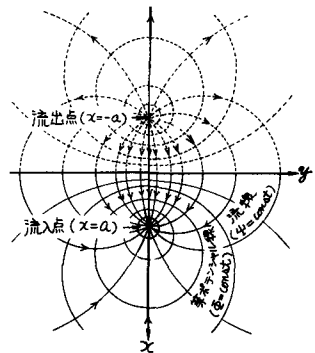


図-2 流線網

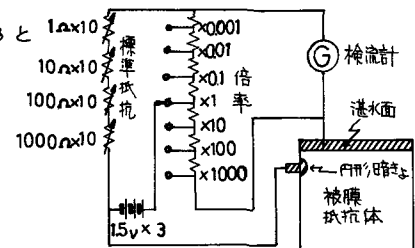


図-3 抵抗測定回路

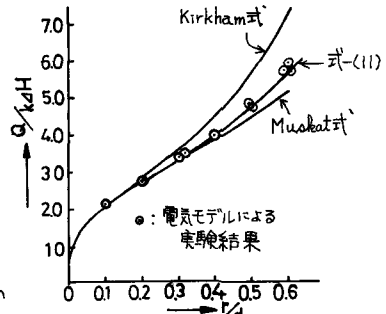


図-4 計算結果と実験値との比較

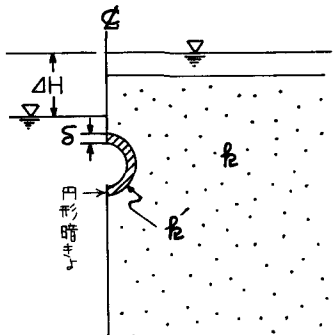


図-5 暗きよ周壁の水頭損失

実験結果とかなりの差異を生ずるに至る。

iii) 暗きよ周壁による損失水頭を考慮した場合。

上記の取水量算定式は、暗きよ周壁を完全透水体と仮定して解析したもので、暗きよ周壁による水頭の損失を考慮していない。

いま、あらかじめ暗きよ周壁自体の透水係数をわかっていてもとのとすると、暗きよ周壁による損失水頭 Δh は

$$Q = A \cdot V = A \cdot R_1 \cdot i = A \cdot R'_1 \cdot (\Delta h / \delta) \quad \text{--- (12)}$$

$$\text{より} \quad \Delta h = Q \cdot \delta / (A \cdot R'_1) \quad \text{--- (13)}$$

$i = 1$ は単位奥行当りの暗きよ周壁の表面積

したがって、浸透砂層にかかる水頭差は $\Delta H - \Delta h$ となる。

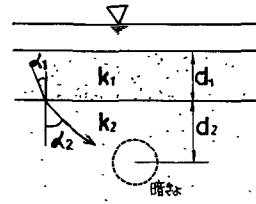


図-6. 透水係数が異なる場合。

$$\frac{Q}{R_1(\Delta H - \Delta h)} = \frac{2\pi}{\ln\{(d + \sqrt{d^2 - r^2})/r\}} = f(d, r) \quad \text{--- (14)}$$

$$\text{より} \quad Q = \frac{R_2 \cdot \Delta H \cdot f(d, r)}{1 + (R_1/R'_1) \cdot \{\delta \cdot f(d, r)/A\}} \quad \text{--- (15)}$$

をうる。同様に、円形暗きよが砂利等で被覆されたりする場合も、被覆外周が等ポテンシャル線と考えられるから、暗きよ周壁と被覆部とによる透水係数が知れれば、式-(15)より取水量を修正できる。

iv) 浸透領域の透水係数が異なる場合。

この場合の厳密な解は非常に困難であるが、図-6 が $\alpha_1 < \alpha_2$ の場合には、次のように近似的に取扱える。いま 境界面上において、流線が鉛直線とすす角を α_1, α_2 とすると、

$$\tan \alpha_1 = (R_1/R'_1) \cdot \tan \alpha_2 \quad \text{--- (16)}$$

が成り立つから、 $\alpha_1 < \alpha_2$ となり、 R_1 区間の流線は、 R'_1 区間に比較して、鉛直に下降していくことになる。したがって R_1 区間と同じ損失水頭を生ずる透水係数 R'_1 の厚さ d'_1 を想定し、式-(11)の分母に

$$d = d'_1 + d_2 = (R'_1/R_1) \cdot d_1 + d_2 \quad \text{--- (17)}$$

を代入すれば、図-6 の暗きよ取水量の近似値がえられる。

2. 長方形浸透領域

暗きよが長方形領域内にある場合を考える。このときは浸透領域として、不透水性土質の河床の一辺を長方形に施削し、円形暗きよを設置して砂質土で埋めもどした場合、あるいは浸透領域に同じ直径の多数の円形暗きよを同じ深さに並列設置した場合の、一個の暗きよの浸透領域などが想定できる。

2-a) 暗きよが領域の中心軸上にある場合。

i) 解析

図-7 (ち平面) の長方形領域の内部を、図-2 の無限大領域へ写像する関数は Jacobi の横円関数の Mn 関数であり次式で示される。

$$\zeta = Mn(\zeta, m) \quad \text{--- (18)}$$

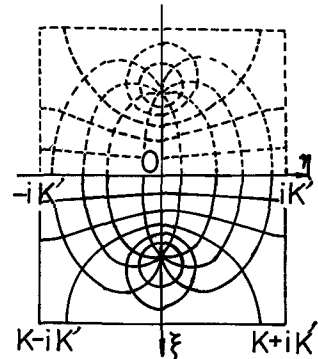


図-7 ち平面

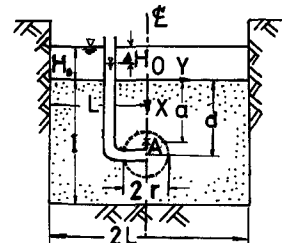


図-8 長方形浸透領域

$\therefore i = m$ は積円周数の母数である。

したがって、図-8 の手えられたに長方形領域 (Z-平面) を拡大・縮小 (2 図-7 に対応させれば Z 平面の複素ポテンシャルがえられる。いま図-7 と図-8 との長方形の縮尺を C で表わすと)

$$\zeta = CZ \quad \text{--- (19)}$$

となり、式-(5), (18), (19)より

$$W = \frac{Q}{2\pi} \ln \frac{\sin(CZ, m) - \sin(Ca, m)}{\sin(CZ, m) + \sin(Ca, m)} + p_{H0} \quad \text{--- (20)}$$

式-(20)を実数部と虚数部にわけて速度ポテンシャルの式を導出し、式-(9)を用ひると、流入点の位置につけて

$$mCQ = \sqrt{\sin C(d+r) \cdot \sin C(d-r)} \quad \text{--- (21)}$$

定数 C は、Y 平面と Z 平面との相似条件より

$$C = K(m)/I = K(m')/L \quad \text{--- (22)}$$

$\therefore i = K(m)$ は母数 m についてのオーラー種完全構円積分を表わし、 m' は m の補母数で $m^2 + m'^2 = 1$ の関係がある。また母数 m の値は $K(m')/K(m) = L/I$ --- (23)

より、浸透領域の形状によって与えられる。したがって、式-(11)と同様に、暗きよ隔壁の速度ポテンシャルを求め、式-(3)と等しいとおけば、取水量算定式は

$$Q = \frac{2\pi R \{ H_0 + d - (p_c/\omega) \}}{\ln \left\{ \left\{ \sqrt{\sin \frac{K(m)}{I}(d+r)} + \sqrt{\sin \frac{K(m)}{I}(d-r)} \right\} / \left\{ \sqrt{\sin \frac{K(m)}{I}(d+r)} - \sqrt{\sin \frac{K(m)}{I}(d-r)} \right\} \right\}} \quad \text{--- (24)}$$

すなはち、暗きよが底面の不透水層上に設置された ($d=I$) 半円の場合には、

$$\sin \left\{ \frac{K(m)}{I}(d+r), m \right\} = 1 / \sin \left\{ \frac{K(m)}{I}r, m' \right\}, \quad \sin \left\{ \frac{K(m)}{I}(d-r), m \right\} = \sin \left\{ \frac{K(m)}{I}r, m \right\} / \sin \left\{ \frac{K(m)}{I}r, m' \right\} \quad \text{--- (25)}$$

として取水量を算定できる。

ii) 取水量算定式の検討

長方形領域における流入点のまわりの等ポテンシャル線は、図-7 に示すように円群ではなく、ひざんだ円形曲線群である。したがって、暗きよ隔壁と一致せず、解析結果はこの等ポテンシャル線の一つを円とみなして近似解である。いま図-3 の電気モデル実験装置を用ひて、円形暗きよにつけられたために実験結果と、式-(24)の計算結果とを比較すると図-9 のようになり、かなり一致してしまったがわかる。図中には Kirkham 式によって得られた長方形領域の取水量算定式の計算結果も示してあるが、全体的に実験結果より大きい値である。この Kirkham 式は流入点を暗きよ隔壁上端にあるとした算定式である。したがって、式-(24)の等ポテンシャル線を円とみなす近似による解析誤差は、流入点の近似による解析誤差よりも小さくなることがわかる。

iii) 取水量における諸要素の影響

○ 浸透領域幅を広げると、 Q/H_0 も大きくなるが、その増加率は L/d が小さくなるほど大きくなる。

○ 浸透領域の深さが大きいと、 Q/H_0 も大きくなるが、その変化はおおよそ L/d の場合と同じ傾向を示す。また L/d が大きいほど増加率は大きくなる。

○ 暗きよの埋設深さを大きくすると、 Q/H_0 は減少する。したがって暗きよ内水位と地表面上の

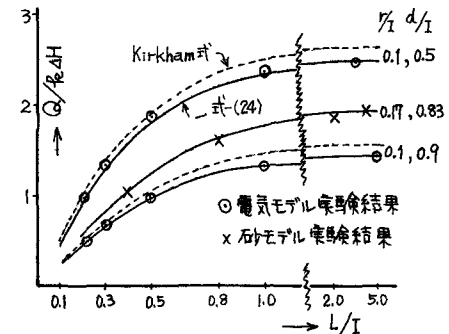


図-9 実験結果との比較

湛水との水頭差が一定の場合には取水量は減少するが、一般に、埋設深さを大きくすると、水頭差を大きくできるから、取水可能な最大量は増加する。

○暗きよ径を大きくした場合の $Q/R\Delta H$ の変化は図-4とほぼ同じ傾向を示す。

2-b 暗きよが領域の中心軸上にない場合、

i) 解析

図-8のZ平面を図-10のように考え、2-aと同じ手法で写像を繰返すと、図-10に対するZ平面は図-11のように、流入・流出点がそれぞれ二個ずつあるPotential Flowと同じになる。したがって、Z平面の複素ポテンシャルは次式で示される。

$$W = \frac{Q}{2\pi} \ln \left\{ \frac{\alpha n C Z - \alpha n C(a+ib)}{\alpha n C Z - \alpha n C(-a+ib)} \cdot \frac{\alpha n C Z - \alpha n C(a-ib)}{\alpha n C Z - \alpha n C(-a-ib)} \right\} + R_e H_0 \quad (26)$$

式-(26)を実数部と虚数部にわけて速度ポテンシャルの式を導出し、

$$\Phi(x=d-r, y=s) = \Phi(x=d+r, y=s) \quad (27)$$

$$\Phi(x=d, y=s-r) = \Phi(x=d, y=s+r) \quad (28)$$

とすると流入点の位置 a, b がわかる。なお式-(27), (28)は a, b は離す3元連立高次方程式であるから、解析解はえられず、数値解析により求めなければならぬ。

この場合の等ポテンシャル線群も円ではないから、暗きよ隔壁の形状と一致しないが、式-(24)と同様に、暗きよ上端と下端とに相当する二点を通る等ポテンシャル線を円形暗きよ隔壁と考えると、取水量算定式は

$$Q = \frac{4\pi R_e \{ H_0 + d - (p_e/\omega) \}}{\ln \left\{ \frac{(CA+CB)^2 + (CC-CD)^2}{(CA-CB)^2 + (CC-CD)^2} \cdot \frac{(CA+CB)^2 + (CC+CD)^2}{(CA-CB)^2 + (CC+CD)^2} \right\}} \quad (29)$$

$$CA = \alpha n C(d-r) \cdot d n C s \cdot (1 - \alpha^2 C b \cdot d n^2 C a), \quad CB = \alpha n C a \cdot d n C b \cdot (1 - \alpha^2 C s \cdot d n^2 C (d-r))$$

$$CC = \alpha n C s \cdot \alpha n C(d-r) \cdot d n C(d-r) \cdot (1 - \alpha^2 C b \cdot d n^2 C a), \quad CD = \alpha n C b \cdot \alpha n C a \cdot \alpha n C b \cdot d n C a \cdot (1 - \alpha^2 C s \cdot d n^2 C (d-r))$$

$$C = K(m)/I = K(m')/2L$$

ii) 取水量算定式の検証。

いま $r/d=0.1$, $d/I=0.7$, $S/I=0.8$ の場合について、図-3の電気モデル集電装置を用いて行った実験結果と、式-(29)の計算結果と比較すると、図-12のようになり、ほぼ一致している。

iii) 領域中心軸からのずれと取水量への影響。

$2L/I=2.0$, $d/I=0.5$ の場合について、暗きよが領域中心軸上にある場合 ($S/I=(2L/I)/I=1.0$) の取水量 Q と、中心軸よりずれている場合 ($S/I \neq 1.0$) の取水量 Q' とを比較してみる。図-13は $S/I=1.0 \sim 1.5$ (あるいは 0.5) を横軸として取水量の変化を表すと、また $r/I=0.01 \sim 0.3$ を横軸とした変化を破線で示している。これより暗きよ位置が中央軸よりずれているほど取水量が減少することができる。また減少の割合は暗きよ径によって異なり、 $r/I=0.2$ の場合が最も大きくなつた。これ

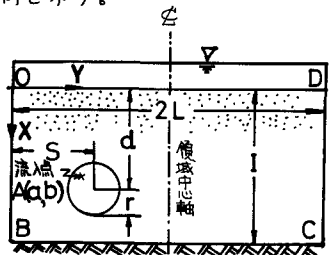


図-10 領域中心軸からずれた場合。

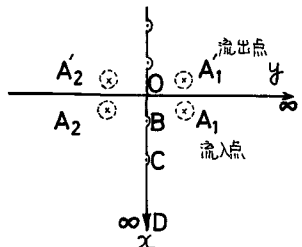


図-11 図-10のZ平面。

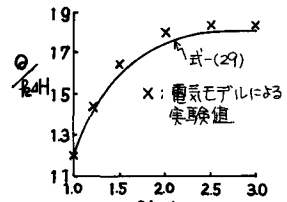


図-12 実験値との比較。

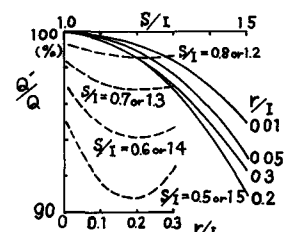


図-13 暗きよ取水量の変化。

は $d/I = 0.3$ あるいは $d/I = 0.7$ の場合とつりとも同じ傾向を示した。すなは d/I が大きくなるほど減少の割合が大きくなるようである。

2-C. 領域の拡大

$$\begin{cases} m=0 & \text{で } M(Z, m) = \sin Z, K(m) = \pi/2, K(m') = \infty \\ m=1 & \text{で } M(Z, m) = \tanh Z, K(m) = \infty, K(m') = \pi/2 \end{cases} \quad \text{--- (30)}$$

$$--- (31)$$

したがって、式-(23)を考慮す

ると、横方向に無限大 ($L=\infty$)

の浸透領域の取水量算定式は

$m=0$ 、縦方向に無限大 (I

$=\infty$) は $m=1$ とおくことにより

得られる。さらにこれらの拡

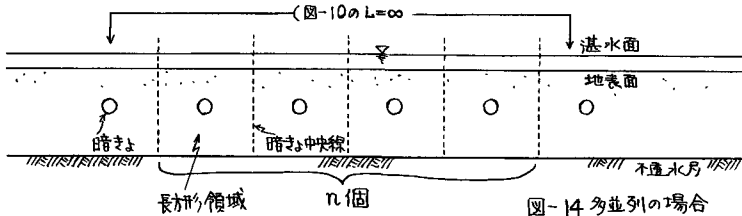


図-14 多並列の場合

大(1)式を級数に展開して、 $I=\infty$ あるいは $L=\infty$ とすれば、半無限浸透領域の算定式もえられる。式-(24)より

順次、領域を拡大して求めた半無限領域の算定式は、

式-(11)と一致する。

図-14のように有限個の暗きよが等間隔に並列してある場合を考えると、暗きよ中央線に挟まれた長方形領域は互に独立であるから、個々の暗きよの取水量が算定でき、したがって総取水量が求まる。このとき、両端二個の暗きよによる取水量はそれぞれ、式-(29)で $m=0$ とおいた算定式より求められる。

また図-14の両端の暗きよ間隔を $2S/I = 5.0$ とし、二つの暗きよの間に円形暗きよをふやして、二つの場合の総取水量と暗きよ本数および暗きよ径の関係を求めてみると図-15のようになる。いま、暗きよ一本当たりの建設費が、1m当たり [暗きよ径×走数] の一次関数で表示できるものとすれば、同じ取水量を得る場合には、暗きよ径を小さくして本数をふやして方が安価となる。たとえば $\Sigma Q/kdH = 5.0$ の場合には、 $r/I = 0.1$ を2本と $r/I = 0.01$ を4本とでは

$1/5$ に軽減できる。水理的にも、暗きよ径を小さくすると、一本当たりの取水量は減少し、同時に浸透領域内の流速が平均化されるから、土砂等を吸い込む力が弱くなり、暗きよ内の土砂の堆積が、あるいは暗きよ直上の地表面への過度の流量集中によって引起される浸透層の目詰まりが回避できる利点をもつと考えられる。

次に、半無限領域に二つの暗きよを並列して設置した場合の、暗きよ間隔と取水量の関係を求めると図-16のようになる。

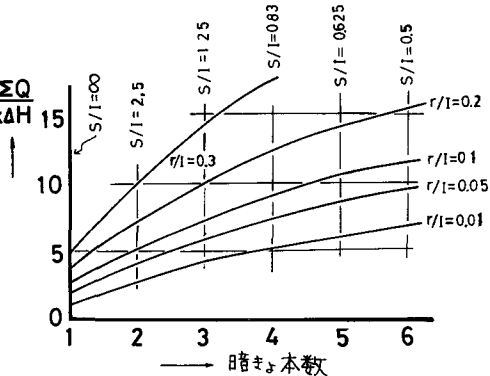


図-15 総取水量と暗きよ本数

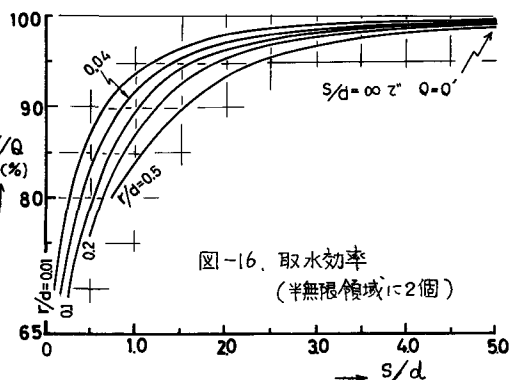


図-16. 取水効率
(半無限領域に2個)

II. 地表面に湛水があり、暗きよ内が未満水の場合

・長方形浸透領域

i) 近似的解析の考え方

式-(1) (2) 暗きよ周壁の速度ポテンシャル分布を求める
と、 $B_r F_o$ および $B_r F'_o$ 両者は 大気圧 $p_a = 0$ と して

$$\Phi = k \{ (p_a / w) - X \} = - k X \quad (32)$$

$E_o D_o F_o$ 向きは暗きよ内水深による静水圧分布をなすから。

$$\Psi = k \{ h_r - X_D \} \quad (\text{等ポテンシャル}) \quad (33)$$

すなわち、暗きよ周壁は等ポテンシャル線とならぬ。この
ようにポテンシャル分布に対する流れの厳密解を求めるこ

とは困難であると考えられ、ここでは次のように考えのもとに近似解
を求めることにした。

図-18において点線の曲線群は図-7 の浸透流の等ポテンシャル
線群と同じものとする。また、円 $B_r D_r$ の暗きよ周壁の速度ポテンシ
ヤルと同じ深さにおりて、同じポテンシャルをもつ点線の等ポテン
シャル線群上の点をとつて結んだものを $B_r E_r D_r F_r B_r$ とする。このよ
うに考えると、 $B_r E_r D_r F_r B_r$ に対する流線は、図-7 の浸透流の流線
と等しくなり、流入量が算定できる。すなわち、円 $B_r D_r$ への流入量
(求め取水量) を直似的に $B_r E_r D_r F_r B_r$ への流入量に等しいとして
この流入量を算定するものである。なお円 $B_r D_r$ の流入量と $B_r E_r D_r F_r B_r$
の流入量の差を考えると、 $B_r E_r D_r F_r B_r$ は円 $B_r D_r$ の中に図-18 の点々
の部分だけ余分に砂がつきつけることから、 $B_r E_r D_r F_r B_r$ への流入
量は円 $B_r D_r$ へのそれより少なめの量を与えることが推察される。

ii) 解析

連続の条件から、この浸透領域内の流入点を含む曲線 $B_r E_r D_r F_r B_r$ の流入量すなわち取水量は、図
-18 の点線で示す等ポテンシャル線に対する流入量とも等しくなる。したがって B_r 点を通る等ポ
テンシャル線(図-18の I_r)あるいは D_r 点を通る等ポテンシャル線(図-18の II_r)に対する流入量を求め
ればよい。 I_r, II_r の等ポテンシャル線の半径をそれぞ
れ R_{I_r}, R_{II_r} 中心の位置を d_I, d_{II_r} とすれば、この流入量
 Q_N と流入点の位置は式-(21), (24) あり)

$$\begin{aligned} \left(\frac{Q_N}{2\pi k} \right) &= \frac{\Delta H_{II_r}}{\ln \frac{\sqrt{m \frac{k}{I}(d_I + r_I)} + \sqrt{m \frac{k}{I}(d_I - r_I)}}{\sqrt{m \frac{k}{I}(d_{II_r} + r_{II_r})} - \sqrt{m \frac{k}{I}(d_{II_r} - r_{II_r})}}} \\ &= \frac{\Delta H_{II_r}}{\ln \frac{\sqrt{m \frac{k}{I}(d_{II_r} + r_{II_r})} + \sqrt{m \frac{k}{I}(d_{II_r} - r_{II_r})}}{\sqrt{m \frac{k}{I}(d_I + r_I)} - \sqrt{m \frac{k}{I}(d_I - r_I)}}} \quad (34) \end{aligned}$$

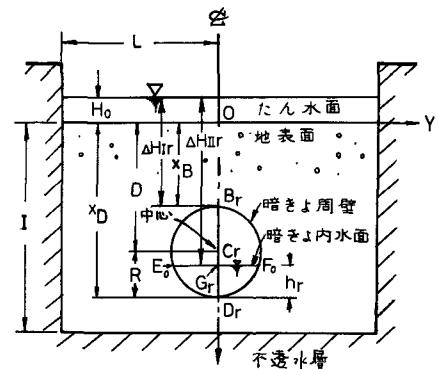


図-17. 未満水円形暗きよ。

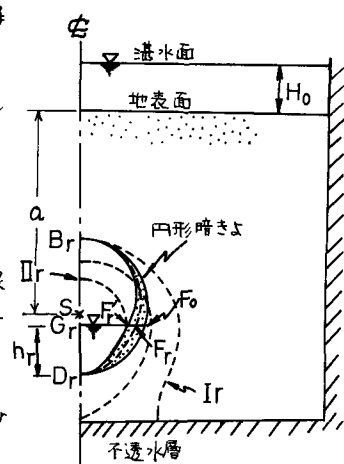


図-18. 近似的解析断面。

(S は点線で示す等ポテンシャル
線群の流入点)

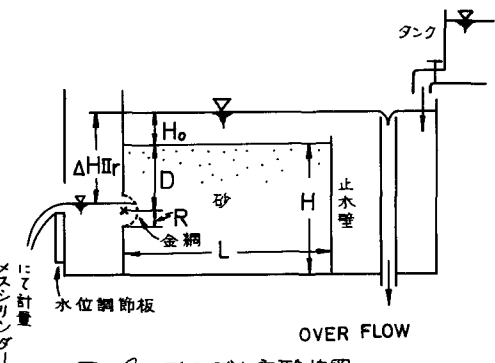


図-19. 砂モデル実験装置。

$$\left(\Delta M \frac{K}{I} a = \right) \sqrt{\Delta M \frac{K}{I} (d_I + r_I) \cdot \Delta M \frac{K}{I} (d_{II} - r_{II})} = \sqrt{\Delta M \frac{K}{I} (d_{II} + r_{II}) \cdot \Delta M \frac{K}{I} (d_{III} - r_{III})} \quad (35)$$

$$\left(\Delta M \frac{K}{I} X_B = \right) \Delta M \frac{K}{I} (d_I - r_I) = \Delta M \frac{K}{I} (D - R) \quad (36)$$

$$\left(\Delta M \frac{K}{I} X_D = \right) \Delta M \frac{K}{I} (d_{II} + r_{II}) = \Delta M \frac{K}{I} (D + r) \quad (37)$$

$\therefore I = d_{II}$ および ΔH_{II} は地表面と I_r および II_r の等ポテンシャル線との水頭差であり、

$$\Delta H_I = H_0 - (-X_B) = H_0 + D - R \quad (38)$$

$$\Delta H_{II} = H_0 - (-X_D + h_r) = H_0 + D + R - h_r \quad (39)$$

したがって式-(34)～(37)を連立に解くと、式-(34)の第一式より目的的 Q_N を得る。すなはち式-(34)～(37)は未満水円形暗きよの取水量算定式である。

iii) 計算結果および実験による検討。

以上の解析による取水量の算定値を図-20に実験で示していく。ここで $\Delta H_I / \Delta H_{II} = 1.0$ は暗きよ内が水で満たされて、(a)も暗きよ周壁上端の圧力が大気圧の場合に相当する。また H_0 の値によって変化するが $\Delta H_I / \Delta H_{II} = 0.75 \sim 0.76$ が暗きよ内ががらの状態である。この場合、暗きよ内水深が小さくなるにつれて $Q / \Delta H_{II}$ は増加するといふがわかる。

次に図-19のようだ。暗きよ内水深を自由に変えうるようにして砂モデル実験装置によって、 $d/I=0.5$, $r/I=0.1$ の場合について求めた実験結果を図-20に示してある。これによると、前述のように $B_{x\infty} F_r D_r F_r B_r$ への流入量は $A_r B_r D_r$ のそれより小さな値を与えており、その誤差は、本実験の場合には $L/I=1/2$ のとき 5.4%, $L/I=1.0$ のとき 4.1%, $L/I=2.0$ のとき 3.85% となり。別に求めた半無限領域の場合の 2.5% と比べてやや大きな値を生じてはいるが、全般的にはほぼよい一致を示しているといえよう。なお参考のために、従来用いられてきた、暗きよ周壁の上端と暗きよ中心の圧力が大気圧の水で満たされていとする考え方により求めた算定結果を図中に破線または一点鎖線で示してある。また透水係数は、満水状態の測定流量を用いて、式-(24)より逆算した値を用いた。

なおこの場合も、先の長方形領域と同様に、縦方向あるいは横方向に無限大的帯状領域へ、さらに半無限領域へと領域を拡張できる。

III. 地表面に湛水がない、暗きよ内が満水の場合。

半無限漫水領域

i) Zhukovsky 関数

まず解析の都合上、各平面の座標軸を図-21のように取り出す。

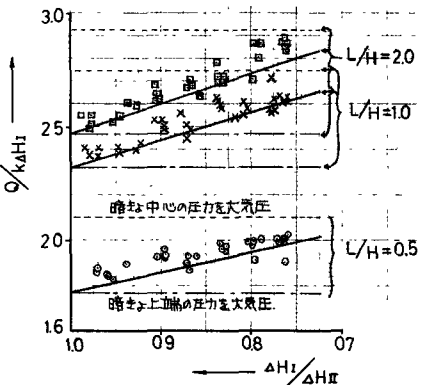


図-20 計算結果と実験値との比較。

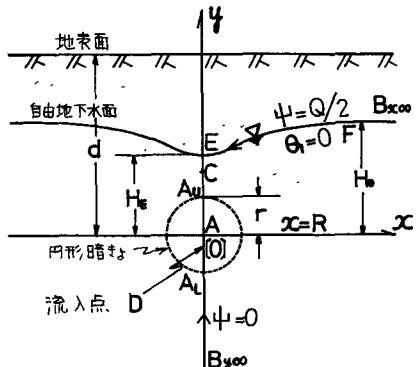


図-21 自由地下水水面のある漫水領域

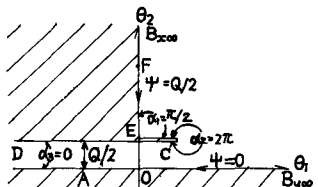


図-22 θ-平面。

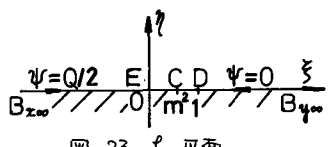


図-23 ξ-平面。

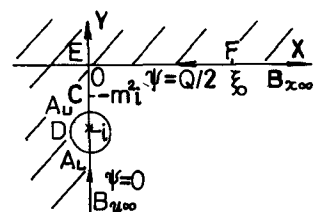


図-24 Z-平面。

この場合、式-(1) は次式のように変形される。 $\Phi = \bar{P} \{ (\rho/\omega) + y \}$ — (40)

自由地下水水面は大気圧 $P_a=0$ とすると、式-(40)より $\Phi = \bar{P}y$ とみなすように、等ポテンシャル線でなく一本の流線である。また、被圧帶水層中の井戸と同様に、 $x > R$ では自由地下水水面の高さが変わるものとする。この ζ 平面を

$$\theta = \theta_1 + i\theta_2 = \Phi - \bar{P}y + i(\psi + \bar{P}x) = W + ikz$$
 — (41)

の Zhukovsky 関数を使って ζ 平面へ写像すると、図-21 の右半分の自由地下水水面より下の領域が、図-22 の多角形 $B_{x00}ECDB_{y00}$ の内部（ハッチのない部分）へ写像され、 ζ 平面では曲線で表わされた自由地下水水面が、 ζ 平面では $B_{x00}E$ のように直線で表わされる。次にこの多角形の内部を、Schwarz-christoffel の変換式により、図-23 のような $\zeta \geq 0$ の領域に写像し、さらに ζ 平面へ写像する。 ζ の ζ 平面から ζ 平面への写像関数を実数部と虚数部にわけると次式がえられる。

$$\Phi = \bar{P}y - \frac{Q}{\pi(1-m^2)}Y + \frac{Q}{4\pi} \ln \frac{X^2 + (Y+1)^2}{X^2 + (Y-1)^2}$$
 — (42)

$$\psi = -\bar{P}x + \frac{Q}{\pi(1-m^2)}X + \frac{Q}{2\pi} \tan^{-1} \frac{2X}{X^2 + Y^2 - 1^2}$$
 — (43)

ii) 複素ポテンシャル

図-24 の流れは $B_{x00} \sim B_{y00}$ から流入点 D に向っている。これは $Y = \pm i$ に流入点をもつ Potential Flow であり、この複素ポテンシャルの式は次式で与えられる。

$$W = \Phi + i\psi = \frac{Q}{2\pi} \ln (Z+i)(Z-i) + \mu$$
 — (44)

式-(44)を実数部と虚数部にわけて、E 点の境界条件を与えて μ を決定すると次式を得る。

$$\Phi = \frac{Q}{4\pi} \ln \{ X^2 + (Y-1)^2 \} \{ X^2 + (Y+1)^2 \} + \bar{P}H_E$$
 — (45)

$$\psi = \frac{Q}{2\pi} \tan^{-1} \left\{ 2XY / (X^2 - Y^2 + 1) \right\}$$
 — (46)

iii) 取水量算定式と自由地下水水面の形状

式-(45),(46) と式-(42),(43) とは同値であるから、 ζ 平面を媒介平面として、 ζ 平面と W 平面とが一対一に対応することなる。（たゞして、 ζ 平面、 ζ 平面および W 平面上における各点の境界条件を与え、 H_0 で無次元化すると、式-(47)～(52) がえられる。このうち

$$\frac{Q}{\bar{P}H_0} = \frac{2\pi(1-m^2) \cdot \{ (\rho_0/\omega) + r \} / H_0}{(1-m^2) \cdot \ln \{ (\rho-1) / (\rho+1) \} + 2\rho}$$
 — (47)

$$m^2 = -2\alpha (Q/\bar{P}H_0) / \left[2\pi \{ (\rho_0/\omega) - r \} / H_0 - (Q/\bar{P}H_0) \cdot \ln \{ (1-\alpha) / (1+\alpha) \} \right]$$
 — (48)

$$\alpha^2 = 1 - \text{Exp} \left[2\pi \frac{\{ (\rho_0/\omega) / H_0 - (H_E/H_0) \}}{(Q/\bar{P}H_0)} \right] / (Q/\bar{P}H_0)$$
 — (49)

$$\beta^2 = 2 - \alpha^2$$
 — (50)

の四式に境界条件と $r = r/H_0$, $(\rho_0/\omega)/H_0$ を与えると、 H_E/H_0 に対する $Q/\bar{P}H_0$ をうる。すなわち、式-(47)～(50) がこの場合の取水量算定式であり、計算は繰返し演算になる。この算定結果を残す式-(51),(52) に入ると R/H_0 が求まる。

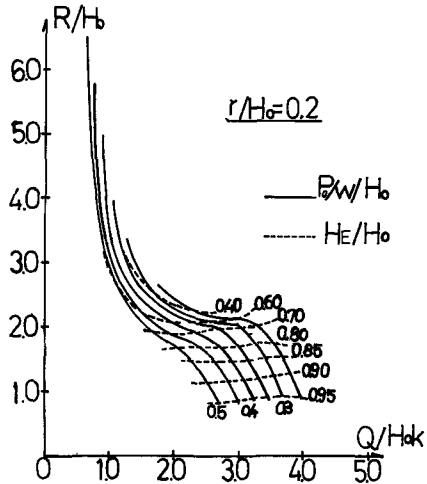


図-25 計算図表.

$$X_0^2 = \text{Exp} [2\pi(1-H_e/H_0)/(Q/RH_0)] - 1. \quad \text{--- (51)}$$

$$R/H_0 = [\tan^{-1}\{2X_0/(X_0^2-1)\} - \pi + 2X_0/(1-m^2)] (Q/RH_0)/2\pi \quad \text{--- (52)}$$

なあこの解析結果は、井戸の理論と同様に $x=\infty$ の点で $y=\infty$ の水位をもつ。(1)がって、暗きよ中心より $x=R$ の位置に $y=H_0$ の水位をもつ水源があるような浸透領域を想定する。不都合を生じる。

iv) 数値解析

$r/H_0 = 0.2$ の場合の $(P_0/\omega)/H_0$, H_e/H_0 , R/H_0 および Q/RH_0 の計算図を図-25 に示す。これによれば、暗きよ内水位が一矢であつても、影響範囲 (R/H_0) が大きければ、自由地下水水面の最低点の位置は低く、暗きよ取水量は小さい。また影響範囲が小さい場合に、暗きよ内水位を下げるとき取水量は大きくなるが、自由地下水水面の最低点の位置はあまり変化しないことがわかる。

図-26 に自由地下水水面形の計算結果を示す。

v) 淡塩境界面の解析への応用

いま図-27 のような領域におかれた円形暗きよにより取水を行った場合について考えてみると、淡塩境界面より下では

$$\Phi = \frac{\rho}{\omega} \{ (P/\omega_s) + y \} \quad \text{--- (53)}$$

ω_s : 海水の単位重量

が成り立ち、淡塩境界面上における圧力 P_{ss} は淡水の静水圧に等し

いから、 $P_{ss} = \omega(d-y)$ となる。これを式-(53)に代入して変形

すると

$$\frac{\rho}{\omega} \cdot \frac{\omega}{\omega_s} \cdot d = \Phi_{ss} - \frac{\omega_s - \omega}{\omega_s} \cdot y \quad \text{--- (54)}$$

となる。したがって、Zhukovskiy 関数を

$$\theta = \theta_1 + i\theta_2 = \Phi - \frac{\rho}{\omega} \epsilon_0 y + i(\psi + \frac{\rho}{\omega} \epsilon_0 x) \quad \text{--- (55)}$$

$$\epsilon_0 = (\omega_s - \omega) / \omega_s$$

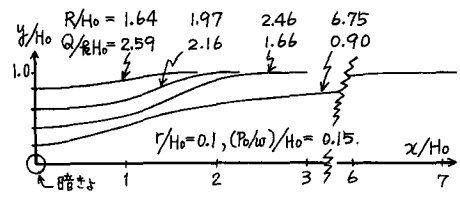
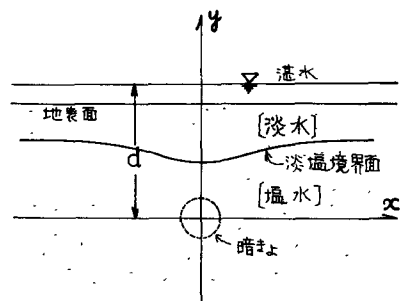


図-26 自由地下水水面の形状



で表わせば、図-27 では曲線で示される淡塩境界面が円弧で

図-27 淡塩二層流

は $\theta_1 = \frac{\rho}{\omega} \cdot d$ の直線で示されるに比にならり、以上と同じ手法により図-27 の暗きよへの浸透流が解析できる。

参考文献

- 1) Muskat: Flow of Homogeneous Fluids through Porous Media, Edwards Brothers, Inc. 1946.
- 2) Kirkham: Flow of ponded water into drain tubes in soil overlying an impervious layer, Trans Amer. Geoph. Union, Vol.30, 1949
- 3) 上田・木暮: 水で満たされたいわゆる水暗きよの取水量について, 第13回 水理講演会講演集, 1969.
- 4) Polubarnova-Kochina: Theory of ground water movement, Princeton Univ. Press, 1962.